

# Capítulo 8

## Lei de Faraday

Ja vimos que cargas estáticas geram campos elétricos, enquanto cargas em movimento, i.e. correntes, geram campos magnéticos. Neste capítulo, veremos uma segunda maneira de gerar (*induzir*) campos elétricos: variando o fluxo magnético. Este resultado é formulado pela Lei de Faraday, que sintetiza uma série de observações em que ocorre *indução* do campo elétrico

### 8.1 Introdução

- Faraday observou que correntes variáveis em um circuito geram uma corrente em um circuito próximo.
- Com o conceito de campo magnético, ficou claro que a corrente variável do circuito produz um campo magnético variável, que, por sua vez, gera uma corrente elétrica no segundo circuito.
- Similarmente, movimento de um íma em um circuito gera neste uma corrente.
- Observa-se também que, mantendo o campo fixo, mas variando a área de um circuito em contato com o campo magnético, ou ainda a orientação do circuito relativa ao campo, uma corrente no circuito também é gerada.
- Em conjunto, estas observações indicam que a variação do *fluxo magnético* gera um campo elétrico associado a uma voltagem que, na presença de cargas, gera uma corrente induzida.

### 8.2 Indução: fem induzida

Antes de enunciar a Lei de Faraday, que fundamentalmente descreve a indução elétrica, vamos considerar uma situação especial em que ela pode ser "deduzida".

Considere, primeiramente uma barra condutora de comprimento  $l$  que se move em um campo  $B$ , com velocidade constante  $v$ . Uma carga  $q < 0$  na barra sofre uma força magnética  $F_B = qvB$  que cria uma corrente  $i$  vertical na barra.

Essa situação é equivalente a se houvesse um campo elétrico  $E = vB$  vertical na barra, pois, neste caso, teríamos uma força elétrica  $F_E = qE = qvB$ . Portanto, é como se houvesse uma diferença de potencial  $\Delta V$  na barra:

$$\Delta V = El = Blv \tag{8.1}$$

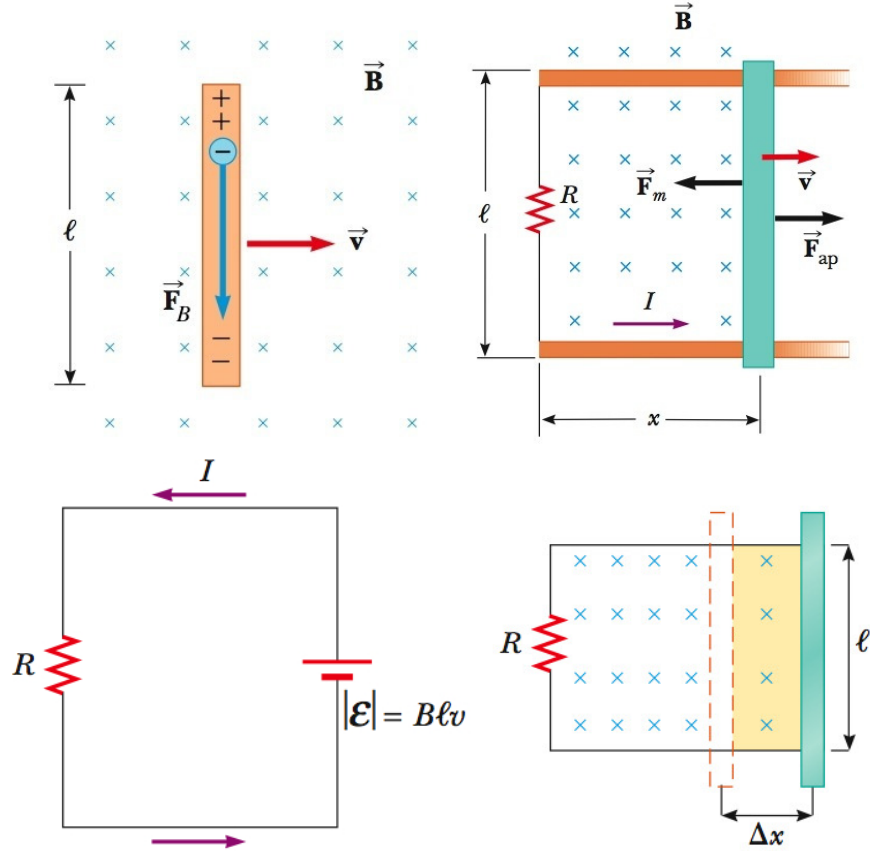


Figura 8.1: Uma barra condutora se move em um circuito fechado. Como as cargas estão confinadas no condutor, a força magnética as move para baixo, como se estivessem na presença de um campo elétrico  $E = vB$ . Verifica-se que a fem associada a  $E$  é igual à variação temporal do fluxo magnético no circuito.

De fato, no referencial que se move junto com a carga (no qual ela está em repouso), a carga não tem velocidade, e não pode sofrer força magnética! Entretanto a carga deve continuar sentindo uma força que a mova para baixo. A resolução desta questão é dada nas chamadas Transformações de Lorentz desenvolvidas na Relatividade Especial. A resposta é que, de fato, neste referencial existe um campo elétrico dado por  $E = vB$ !

Se agora conectarmos a barra vertical a um circuito fechado com uma resistência  $R$ , temos que essa situação é equivalente a termos uma força eletromotriz  $\mathcal{E}$ :

$$|\mathcal{E}| = Blv \quad (8.2)$$

A corrente no circuito fica então

$$i = \frac{\mathcal{E}}{R} = \frac{Blv}{R} \quad (8.3)$$

Consideremos agora o fluxo magnético neste circuito:

$$\Phi_B = BA = Blx \quad (8.4)$$

e a variação temporal de  $\Phi_B$  no circuito quando a barra se move com velocidade  $v = \Delta x / \Delta t$  fica:

$$\frac{d\Phi_B}{dt} = \frac{d}{dt}(Blx) = Bl \frac{dx}{dt} = Blv = |\mathcal{E}| \quad (8.5)$$

Este resultado, obtido para este caso particular, na verdade vale sempre, mesmo quando o fluxo muda devido a e.g. um campo  $B$  variável e não ao movimento do circuito.

Como existe uma corrente  $i$  para cima no fio, este sofrerá uma força  $F_m = Bil$  para a esquerda e, para que a velocidade seja de fato constante, é preciso aplicar na barra uma força  $\vec{F}_{ap} = -\vec{F}_m$ :

$$\vec{F}_{ap} = Bil = B \left( \frac{Blv}{R} \right) l = \frac{B^2 l^2 v}{R} \quad (8.6)$$

Esta força provê uma potência  $P_{ap}$  ao sistema:

$$P_{ap} = \frac{\Delta W}{\Delta t} = \frac{F_{ap} \Delta x}{\Delta t} = F_{ap} v = \frac{B^2 l^2 v^2}{R} \quad (8.7)$$

Por outro lado, a potência dissipada no resistor é

$$P_{dis} = Ri^2 = R \left( \frac{Blv}{R} \right)^2 = \frac{B^2 l^2 v^2}{R} \quad (8.8)$$

i.e. a energia fornecida pela força aplicada é transferida para o movimento das cargas e dissipada no resistor. Note que o campo magnético, como sempre, não realiza trabalho.

### 8.3 Lei de Faraday

A Lei de Faraday formaliza as observações mencionadas na introdução e generaliza o resultado da última seção. Considere um circuito  $C$  e uma superfície aberta  $S$  qualquer que se apoia em  $C$ . O fluxo magnético na superfície  $S$  é dado por

$$\Phi_B^S = \int_S \vec{B} \cdot d\vec{S} \quad (8.9)$$

Unidade de fluxo magnético: Weber [Wb]=[T][m<sup>2</sup>].

A Lei de Faraday diz que a variação temporal deste fluxo magnético em  $S$  induz a formação de um campo elétrico circulante em  $L$  de acordo com

$$\mathcal{E} = \oint_C \vec{E} \cdot d\vec{l} = -\frac{d\Phi_B^S}{dt} \quad (\text{Lei de Faraday}) \quad (8.10)$$

Note que

- $C$  é a borda de  $S$ . A Lei de Faraday, portanto, relaciona, o fluxo de  $B$  em  $S$  com a circulação do campo  $E$  induzido na borda de  $S$ .
- Como  $\vec{B} \cdot d\vec{S} = BdS \cos \theta$ , a variação temporal de  $\Phi_B^S$  pode ocorrer porque o campo  $B$  varia no tempo, ou porque a área  $S$  em contato com  $B$  muda, ou ainda porque a orientação de  $S$  em relação a  $B$ , i.e.  $\theta$ , muda.
- Por definição,  $\mathcal{E} = \oint_C \vec{E} \cdot d\vec{l}$  é a voltagem induzida no circuito. Se houver um resistor  $R$ , uma corrente  $i = \mathcal{E}/R$ , será induzida em  $C$ .
- Note o sinal negativo no lado direito, relacionado com a Lei de Lenz, a seguir.

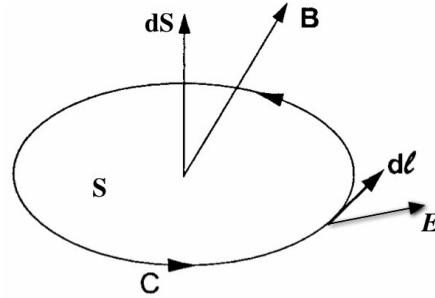


Figura 8.2: Superfície  $S$  apoiada no circuito  $C$ . A Lei de Faraday relaciona a variação temporal do fluxo de  $B$  em  $S$  com a circulação de  $E$  em  $C$ .

## 8.4 Lei de Lenz

- Interpretação do sinal negativo da Lei de Faraday.
- Lei de Lenz: A variação do fluxo magnético induz um efeito (campo elétrico, voltagem, ou corrente induzida) que tende a anular esta variação.
- Permite sabermos a direção da circulação de  $E$ , i.e. a direção da voltagem e da corrente induzida como resultado da variação do fluxo.
- Vamos considerar alguns casos possíveis. Para isso, considere uma espira, i.e. um circuito  $L$  e uma superfície  $S$  que se apoia em  $L$ . Suponha que um campo  $B$  atravessa a superfície  $S$ , que permanece fixa.

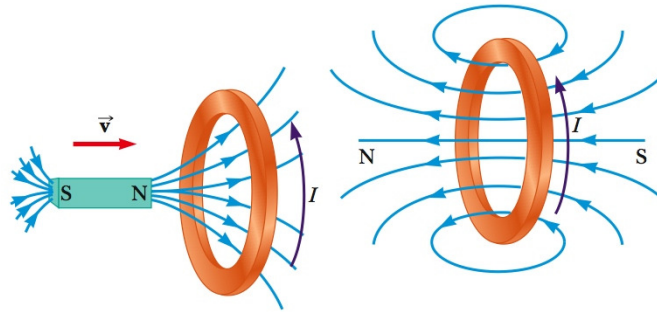


Figura 8.3: Lei de Lenz. Quando um ímã se aproxima da espira, o fluxo através desta aumenta. A corrente induzida na espira produz um campo contrário ao campo original, a fim de anular a variação no fluxo original. Note ainda que a espira desenvolve um dipolo magnético para a esquerda, i.e. oposto ao do ímã. Portanto, existirá uma força de repulsão entre eles, no sentido de afastar o ímã e impedir o aumento do fluxo.

- Campo aumentando com tempo:  $\partial B/\partial t > 0 \rightarrow d\Phi_B/dt > 0$  e  $\mathcal{E} < 0$ . Portanto,  $\vec{E}$  terá a direção oposta a  $d\vec{l}$ , i.e. a corrente induzida  $i$  também terá direção oposta a  $d\vec{l}$ . Mas essa corrente induzida gera um campo  $B_{\text{ind}}$  que aponta no sentido oposto ao campo  $B$  original, i.e.  $B_{\text{ind}}$  aponta no sentido tal que tende a diminuir o fluxo magnético, cujo aumento foi a causa original da corrente.

Imagine que isto acontece porque aproximamos um ímã (que gera  $B$ ) da espira, o ímã e a espira sofrerão uma força de repulsão mútua (dois dipolos magnéticos em sentidos opostos), que, novamente, tende a *anular* o efeito que gera a corrente induzida.

- Campo diminuindo com o tempo:  $\partial B/\partial t < 0 \rightarrow d\Phi_B/dt < 0$  e  $\mathcal{E} > 0$ . Portanto,  $\vec{E}$  e  $i$  terão a mesma direção de  $d\vec{l}$ . Esta corrente induzida gera um campo  $B_{\text{ind}}$  que aponta no sentido do campo  $B$  original, i.e.  $B_{\text{ind}}$  tende a aumentar o fluxo magnético, cuja diminuição foi a causa original da corrente.

Se isto ocorre porque afastamos um ímã da espira, o ímã e a espira sofrerão uma força de atração mútua (dois dipolos magnéticos no mesmo sentido), que, novamente, tende a *anular* o efeito que gera a corrente induzida.

- Se o lado direito da Lei de Faraday tivesse sinal positivo, teríamos um *run-away process*, i.e. o aumento do fluxo tenderia a aumentar o fluxo ainda mais, tendendo a um fluxo infinito. Assim, produziríamos uma corrente infinita com um mero movimento do magneto na direção da espira! Obviamente esta situação não conserva energia.

## 8.5 Aplicações

### 8.5.1 Exemplo 1

Considere o circuito mostrado na Fig 8.4, que tem resistência  $R$  e está conectado a uma bateria com fem  $\mathcal{E}_{bat}$ . O campo magnético varia com o tempo como  $B(t) = (t^2 + 2t + 7)$  T.

a) Qual a magnitude e direção da fem  $\mathcal{E}_{ind}$  induzida no tempo  $t$ ?

O fluxo no circuito é dado por

$$\Phi_B = BA = B \frac{\pi r^2}{2} \quad (8.11)$$

e a voltagem induzida fica

$$|\mathcal{E}_{ind}| = \frac{d\Phi_B}{dt} = \frac{\pi r^2}{2} \frac{d}{dt}(t^2 + 2t + 7) = \frac{\pi r^2}{2}(2t + 2) = \pi r^2(t + 1) \quad (8.12)$$

O fluxo está crescendo com o tempo. O campo  $B_{ind}$  induzido deve se opor a este crescimento e, portanto, apontar no sentido contrário a  $B$ , i.e. dentro da página. Portanto,  $i_{ind}$  e  $\mathcal{E}_{ind}$  devem estar no sentido horário.

b) Qual a corrente no circuito no tempo  $t$ ?

Como  $\mathcal{E}_{ind}$  tem direção oposta a  $\mathcal{E}_{bat}$ , a corrente terá a direção da maior fem. A magnitude é

$$i = \frac{\mathcal{E}_{ind} - \mathcal{E}_{bat}}{R} = \frac{\pi r^2(t + 1) - \mathcal{E}_{bat}}{R} \quad (8.13)$$

No tempo  $t = \mathcal{E}_{bat}/(\pi r^2) - 1$ , a corrente é nula.

### 8.5.2 Exemplo 2

Considere o circuito mostrado na Fig 8.5, atravessado por um campo  $B = 4t^2x$ , que varia no tempo e no espaço. Qual a fem  $\mathcal{E}_{ind}$  induzida no tempo  $t$ ?

O fluxo é dado por

$$\begin{aligned} \Phi_B &= \int \vec{B} \cdot d\vec{A} = \int B dA = \int B(H dx) \\ &= \int (4t^2x)H dx = 4t^2H \int_0^W x dx \\ &= 4t^2H \frac{W^2}{2} = 2t^2W^2H \end{aligned}$$

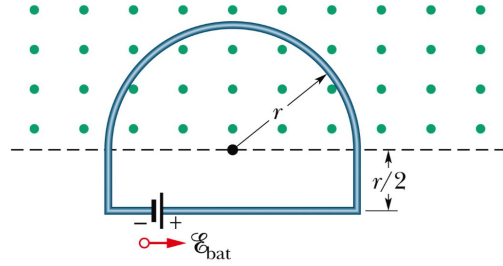


Figura 8.4: Bateria conectada a um circuito com campo magnético crescente. (Halliday)

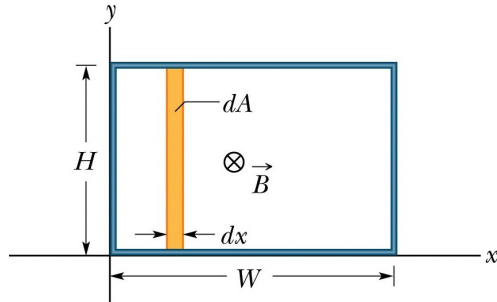


Figura 8.5: Circuito em um campo magnético variando no espaço e no tempo. Como  $B$  depende de  $x$ , consideramos o elemento de área  $dA = H dx$  na integração do fluxo. (Halliday)

Portanto,

$$|\mathcal{E}_{ind}| = \frac{d\Phi_B}{dt} = 4tW^2H \quad (8.14)$$

### 8.5.3 Exemplo 3

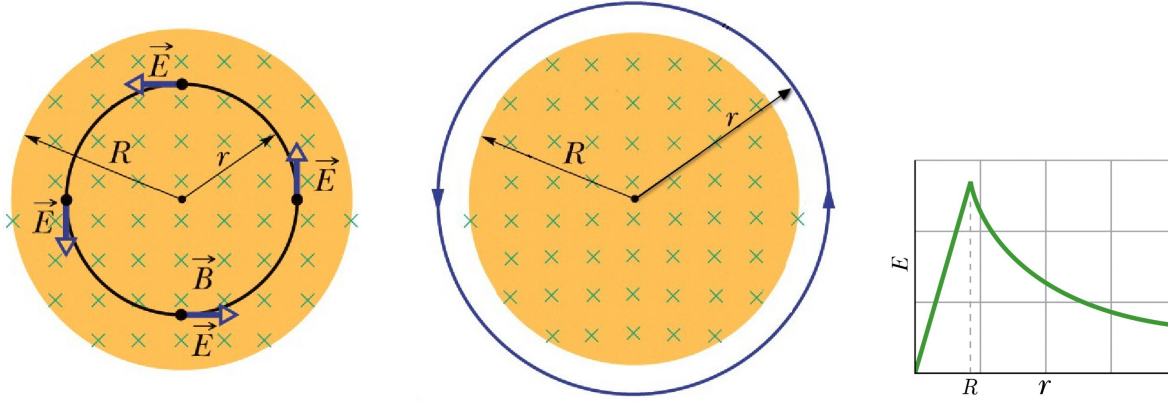


Figura 8.6: Tubo de raio  $R$  com campo magnético  $B$  que varia no tempo. Anéis de cobre são colocados dentro e fora do tubo, e têm um campo  $E$  circulante. O campo induzido cresce dentro do tubo e decai fora dele. (Halliday)

Considere uma tubo de raio  $R$  de campo magnético  $B$  uniforme, mas que varia no tempo com uma taxa constante  $dB/dt = \text{const.}$ , e um anel de cobre de raio  $r$  concêntrico ao tubo. Encontre o campo  $E$  circulante dentro e fora do tubo.

Da simetria, temos que  $E$  deve ser circular no fio. Portanto para todos os pontos  $r$ , temos

$$\oint \vec{E} \cdot d\vec{l} = \oint E dl = E \oint dl = E(2\pi r) \quad (8.15)$$

Para  $r < R$ , temos

$$\Phi_B = BA = B(\pi r^2) \rightarrow \frac{d\Phi_B}{dt} = \pi r^2 \frac{dB}{dt} \quad (8.16)$$

Portanto, a Lei de Faraday nos dá

$$E(2\pi r) = \pi r^2 \frac{dB}{dt} \rightarrow E = \frac{r}{2} \frac{dB}{dt} \quad (8.17)$$

Já para  $r > R$ , temos

$$\Phi_B = BA = B(\pi R^2) \rightarrow \frac{d\Phi_B}{dt} = \pi R^2 \frac{dB}{dt} \quad (8.18)$$

Portanto,

$$E(2\pi r) = \pi R^2 \frac{dB}{dt} \rightarrow E = \frac{R^2}{2r} \frac{dB}{dt} \quad (8.19)$$

## 8.5.4 Exemplo 4

Considere agora um gerador de corrente alternada, como na Fig 8.7. Vamos assumir que o circuito mostrado está girando com velocidade angular  $\omega$  constante, impulsionado por um rotor externo.

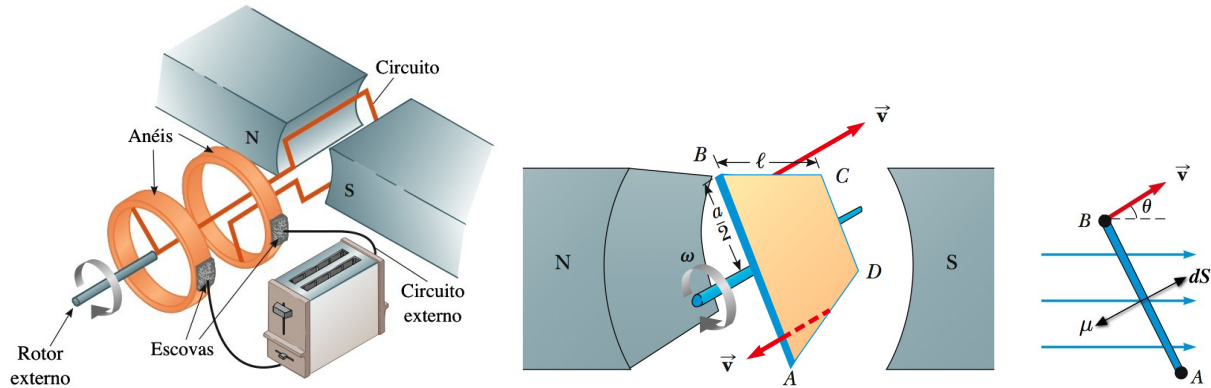


Figura 8.7: Gerador de corrente alternada. A rotação do circuito faz o fluxo magnético neste variar e induzir uma corrente alternada no circuito, convertendo a energia mecânica de rotação em energia elétrica. (Serway)

O fluxo magnético através do circuito rotante é

$$\begin{aligned}\Phi_B &= \int_{\text{circuito}} \vec{B} \cdot d\vec{S} = \int_{\text{circuito}} B dS \cos \theta \\ &= B \cos \theta \int_{\text{circuito}} dS = BS \cos \theta\end{aligned}$$

Para  $\omega = \text{constante}$ , temos  $\theta = \omega t \rightarrow \Phi_B = BS \cos(\omega t)$ .  
A voltagem induzida é então dada por

$$\begin{aligned}\mathcal{E}_{ind}(t) &= -\frac{d\Phi_B}{dt} = -BS\omega(-\sin(\omega t)) \\ &= BS\omega \sin(\omega t)\end{aligned}\quad (8.20)$$

Conectando uma resistência  $R$  (ou uma torradeira como na Fig 8.7), a corrente induzida no circuito externo será

$$i(t) = \frac{\mathcal{E}_{ind}(t)}{R} = \frac{BS\omega}{R} \sin(\omega t)\quad (8.21)$$

A potência dissipada no resistor é

$$P_{dis} = Ri^2 = \frac{B^2 S^2 \omega^2}{R} \sin^2(\omega t)\quad (8.22)$$

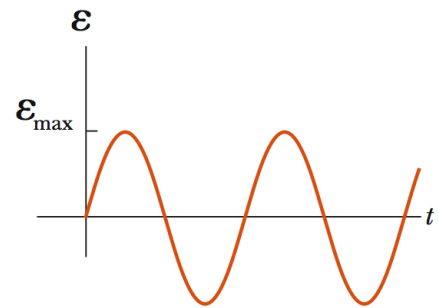


Figura 8.8: Voltagem senoidal obtida no gerador de corrente alternada. (Serway)

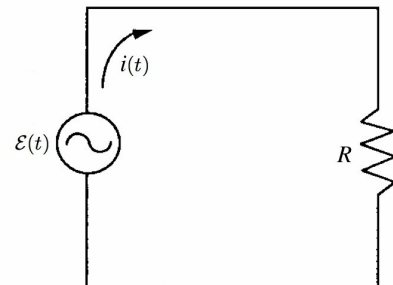


Figura 8.9: Voltagem e corrente senoidal conectada à resistência  $R$ .

Por outro lado, o circuito tem um momento de dipolo magnético  $\vec{\mu}$ , e sofre um torque  $\vec{\tau}$

$$\tau = |\vec{\mu} \times \vec{B}| = \mu B \sin(180^\circ - \theta) = \mu B \sin \theta \quad (8.23)$$

Como  $\mu = iS$ , temos

$$\tau = i(t)SB \sin(\omega t) \quad (8.24)$$

Portanto, para que  $\omega$  seja de fato constante, é preciso que um torque externo  $\vec{\tau}_{ap} = -\vec{\tau}$  seja aplicado ao circuito. A potência fornecida por  $\vec{\tau}_{ap} = \vec{r} \times \vec{F}_{ap}$  é

$$\begin{aligned} P_{ap} &= \vec{F}_{ap} \cdot \vec{v} = F_{ap}v = \left(\frac{\tau_{ap}}{r}\right)(\omega r) = \tau_{ap}\omega \\ &= [i(t)SB \sin(\omega t)]\omega = i(t)SB\omega \sin(\omega t) \\ &= \left(\frac{BS\omega}{R} \sin(\omega t)\right) SB\omega \sin(\omega t) = \frac{B^2 S^2 \omega^2}{R} \sin^2(\omega t) = P_{dis} \end{aligned}$$

Portanto, a potência mecânica aplicada ao circuito é convertida exatamente na energia dissipada no resistor.